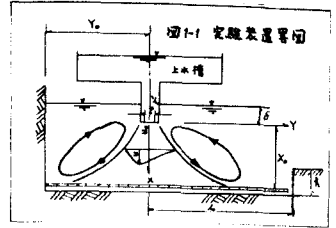


II-85 垂直噴流に及ぼす境界の影響 (オ1報)

建設省 土木研究所 正員 土屋 昭 彦  
 建設省 土木研究所 正員 須 賀 堯 三  
 建設省 土木研究所 正員 河 野 二 夫

1 緒言

噴流の研究は落下水による河床の局所洗堀や水門下流端の洗堀等と水理的に発明するために必要である。筆者はこの様な研究の一端として図1.1に示す装置によって境界条件による流速分布や床板の水圧の測定とを行い、この結果と自由噴流との比較によって境界条件による噴流の特性と把握する事に努めた。実験の結果噴流の拡散は境界条件により種々異なる機構となる事が判明した。



2. 自由噴流の理論解と境界の影響と受けた実測値との比較

自由噴流の理論解を H.Görtler は次の如く解いている。

流線の座標を(2.1)式とする。

$$\psi = \sigma^2 U_0 \delta^2 \sum_{n=1}^{\infty} F_n \dots (2.1)$$

(2.1)式を Navier-stokes の運動方程式に代入すると(2.2)

となる

$$\sum_{n=1}^{\infty} F_n'' + \sum_{n=1}^{\infty} F_n + \frac{U_0}{\delta^2} F_n'' = 0 \dots (2.2)$$

(2.2)式で  $\sigma = \frac{U_0}{\delta^2}$  とし積分すると(2.3)式となる。

$$\frac{U}{U_{max}} = \text{sech}^2 \psi, \psi = \sigma \frac{x}{2} \dots (2.3)$$

(2.3)式で  $\sigma$  は任意の位置を示

し  $\sigma$  は常数である。Reichardt

が自由噴流につき実験的に求めた  $\sigma$  の値は 2.67 である。

筆者の実験によると図2.1~図2.3に示す様に  $U_{max}$  の位置

は  $Y_0$  が小さい程、上流側に発生した渦によって見掛け上、

流線が上流側に弯曲し

ている。又図(2.4)~図(2.5)によれば  $\sigma$  の値は境界条件によって種々変化する。即ち  $X_0$  と一定とした時の対

称噴流では  $x$  方向の  $\sigma$  の値は  $\text{const}$  であるが  $y$  方向の  $\sigma$  の値は次第に小さくなっている。

3. 噴流の拡散について

図3.1~図3.2に示す様に垂直壁と設けた場合の  $\sigma$  の値は特に床板附近では  $Y_0$  と小さい程下流側より上流側の  $\sigma$  は小さく又いつれの側も  $Y_0$  と小さい程  $\sigma$  の値は大きくなっている。この様に境界の影響

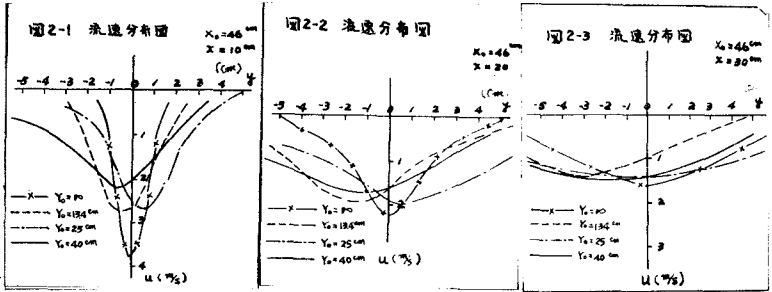
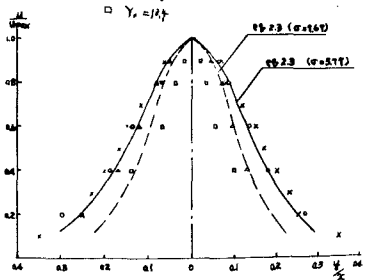
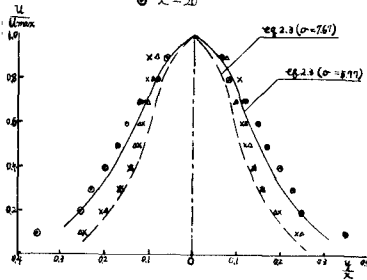


図 2.4  $\frac{U}{U_{max}} \sim \frac{x}{X_0}$  図

図 2.5  $\frac{U}{U_{max}} \sim \frac{x}{X_0}$  図

$X_0 = 26$   
 $Y_0 = \infty$   
 x  $X = 5$   
 $X = 10$   
 $X = 20$

$X_0 = 26$   
 $X = 20$



響による拡散は Reichart が示した  $\sigma = 2.67$  の定数とは極めて異なり床板附近と除くと一般に  $2.67$  以下である。又床板附近では  $2.67$  以上である。

4. 最大流速の速減について  
Rouse 等は流速分布曲線と Gauss の誤差函数を示し噴流の拡散の割合と一定とし且  $x$  方向の運動量と等しくおいて最大流速の速減式と与えている。即ち 
$$U_{max} = \int_{-\infty}^{\infty} u^2 dy$$
 として結局 
$$\frac{U_{max}}{U_0} = K \left(\frac{x}{L}\right)^{-2} \dots \dots (4.1)$$

(4.1) 式で  $U_0$  は slit の位置の最大流速  $u$  は slit の中  $n$  及び  $K$  は定数である。(4.1) 式によって実測値と整理すると図4の如くなる。図では Kuetche の言う A 領域は  $x/L \approx 0 \sim 4.76$  ( $L$  は slit の直径) に相当する。次に図による  $x/L \approx 4$  から  $x/L \approx 0.7$  は後の C 領域に相当すると思われる。

B 領域は  $x/L \approx 4$  附近に存在していると思われるが実測値不足のため明確でない。佐藤綱井の称する D 領域については床板の影響が相当あるものと考えられる。又垂直壁を設けた場合は図4.2の如くなり  $x/L$  による速減の割合はかなり異なる。床板の圧力と流速に換算すると床板がない場合のその英の流速と一致する事が観測されている。図4.2では垂直壁の速減が  $U_{max}$  に及ぼす影響と床板の圧力から求めた最大流速の变化として示したりのである。

5. 床板の圧力分布について

床板に内径  $0.8\%$  の孔と  $4\%$  間隔に設けピエールパイプでマノメーターに連絡して流速と測定し動圧力に換算した結果と示すと図5.1~図5.2の様になる。又図5.2で  $P_0$  は slit における運動量を圧力に換算したものである。図から判断すると  $X_0$  と一定にして  $Y_0$  と小さくすると上流側の圧力は大きくなる。 $Y_0$  の大きさによって圧力曲線が種々変形している事から考えると垂直壁による流れの衝撃の外に上流側に発生した渦の型による影響があると考えられる。即ち落下水のエネルギーを消費する一つの手段として渦が形成されその渦の持つ運動量が加わる。そこで図5.2の様に整理してみると  $x/L = 0.22$  において渦の消費は最大になっている。

